

А. А. Бочечка (г. Киев)

Анализ движущих сил процесса спекания алмазных порошков микро- и нанодиапазонов при высоком давлении

Показано, что при спекании алмазных порошков не наблюдается суммирования давления Лапласа и внешнего давления, действующего на систему. Моделирование формы пор показало, что возможны случаи, когда капиллярные силы направлены против внешних сил. Предложено уравнение, описывающее предельное уплотнение системы алмазных частиц в этом случае. Экспериментальные значения плотности алмазных поликристаллов, спеченных из алмазных порошков различной дисперсности, в пределах погрешности измерений хорошо описываются этим уравнением. Для улучшения спекания необходимы добавки, образующие с углеродом химические соединения и связывающие алмазные наночастицы при спекании.

Ключевые слова: спекание, высокие давления, давление Лапласа, алмазные нанопорошки, алмазные микропорошки, форма поры.

Введение. В [1] показано, что при спекании алмазных порошков различной дисперсности, начиная с зернистости 5/3, в условиях высокого давления при одинаковых параметрах спекания плотность спеченных поликристаллов снижается с уменьшением размера спекаемых частиц. Анализ теоретических моделей, описывающих спекание, показал, что, в отличие от классических систем [2], при спекании алмазных порошков не наблюдается суммирования внешнего и капиллярного давлений. Как известно [3], направленность капиллярных сил зависит от вида кривизны поверхности пор. В алмазных брикетах форма пор определяется алмазными частицами, габитус которых формируется преимущественно гранями (100) и (111), поэтому классических сферических пор, для которых направление действия капиллярных и внешних сил совпадает, практически не наблюдается.

В настоящей работе предпринята попытка на основе простой модели определить величину и направленность сил, вызванных различной кривизной внутренней поверхности пор.

Основные положения. Для определения результирующего давления, возникающего в сплошной среде вокруг поры сложной формы, необходимо провести суммирование всех сил, возникающих на искривленных поверхностях. Как известно [3], под искривленной поверхностью, которая характеризуется радиусами кривизны r_1 и r_2 двух взаимно перпендикулярных нормальных сечений поверхности в данной точке, возникает давление Лапласа [3]

$$p_{\text{Л}} = \sigma \left(\frac{1}{r_1} + \frac{1}{r_2} \right),$$

где σ — свободная энергия, отнесенная к единице площади поверхности [3].

Рассмотрим фрагмент твердого тела, представляющий собой полубесконечную округленную призму (рис. 1, *a*) высотой L с углом основания α и радиусом округления r (рис. 1, *б*). Вследствие искривления поверхности возникает давление Лапласа

$$p_{\text{Л}} = \sigma \left(\frac{1}{r} + \frac{1}{\infty} \right) = \frac{\sigma}{r}$$

и соответствующая сила, направленная внутрь искривленной поверхности, — сила Лапласа

$$F_{\text{Л}} = p_{\text{Л}} S, \quad (1)$$

где S — площадь искривленной поверхности. Как следует из рис. 1, *б*, $S = Ll$, где l — длина дуги округления, $l = r\beta = r(\pi - \alpha)$, β — угловая величина дуги.

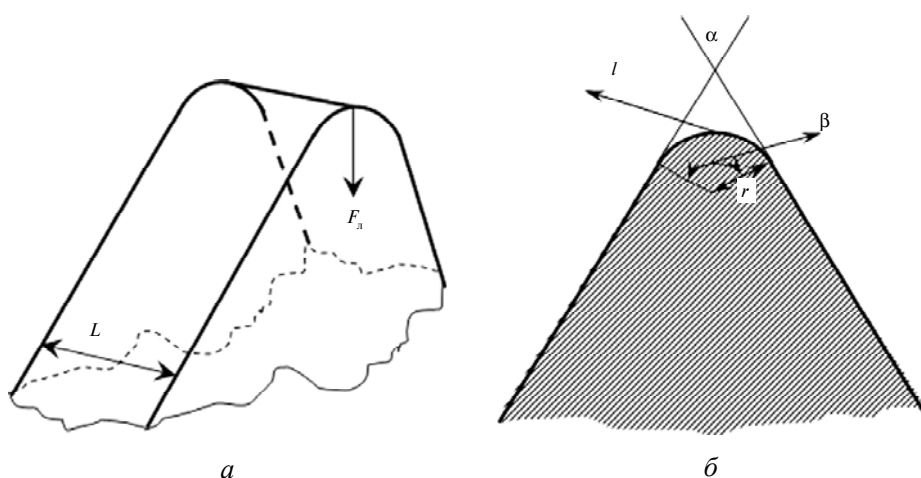


Рис. 1. Фрагмент полубесконечной призмы (*a*) и его поперечное сечение (*б*).

Подставив вышеприведенные выражения для $p_{\text{Л}}$ и S в формулу (1), получим

$$F_{\text{Л}} = \frac{\sigma}{r} Lr(\pi - \alpha) = \sigma L(\pi - \alpha). \quad (2)$$

Таким образом, результирующая сила, возникающая под искривленной поверхностью вследствие действия давления Лапласа, не зависит от радиуса округления, а определяется углом искривления.

Рассмотрим цилиндрическую пору радиусом R , высотой L с призматическим выступом, направленным внутрь поры (рис. 2). Длина грани выступа — D , угол при вершине — α . Выделим четыре характерных участка искривленной поверхности и четыре соответствующие силы:

— у вершины угла α , сила \vec{F}_1 направлена вдоль радиуса поры от ее центра, величина силы согласно формуле (2) составляет $|\vec{F}_1| = \sigma L(\pi - \alpha)$;

— у основания призматического выступа, силы \vec{F}_2 и \vec{F}_3 направлены внутрь поры, их величина в соответствии с формулой (2) равна $|\vec{F}_2| = |\vec{F}_3| = \sigma L(\pi - \gamma)$, где γ — угол сопряжения выступа с поверхностью поры;

— фрагмент искривленной поверхности радиусом R с длиной дуги dl , сила \vec{F}_R направлена вдоль радиуса R к центру поры, ее величина составляет

$$|\vec{F}_R| = \frac{\sigma}{R} L dl.$$

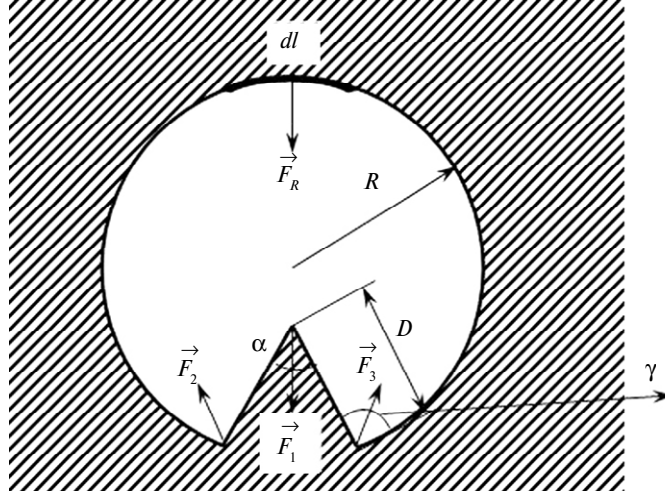


Рис. 2. Поперечное сечение цилиндрической поры с призматическим выступом.

Для нахождения суммарного вектора $\vec{F} = \vec{F}_1 + \vec{F}_2 + \vec{F}_3$ рассмотрим более детально геометрические фигуры, образованные указанными векторами и элементами поверхности поры (рис. 3). На рис. 3 $OA = R$, $AB = D$, $\angle ABC = \alpha$, $\angle BAM = \angle BCN = \gamma$, $\angle SCP = \gamma/2$, $\angle AOC = \varphi$, $\angle OAM = \angle OCN = \pi/2$. Очевидно

$$|\vec{F}_2 + \vec{F}_3| = PK = 2|\vec{F}_2| \cos \angle OPA.$$

Из треугольников OSC и SCP следует

$$\angle OSC = \frac{\pi}{2} - \frac{\varphi}{2}; \quad \angle CSP = \pi - \angle OSC = \pi - \left(\frac{\pi}{2} - \frac{\varphi}{2}\right) = \frac{\pi + \varphi}{2};$$

$$\angle OPA = \angle SPC = \pi - (\angle CSP + \angle SCP) = \pi - \left(\frac{\pi + \varphi}{2} + \frac{\gamma}{2}\right) = \frac{1}{2}(\pi - \varphi - \gamma).$$

Найдем соотношение между углами α , φ и γ . В треугольнике OBC $\frac{\varphi}{2} + \angle OBC + \angle BCO = \pi$; $\angle OBC = \pi - \frac{\alpha}{2}$; $\angle BCO + \frac{\pi}{2} = \gamma$, отсюда

$\gamma = \frac{1}{2}(\pi + \alpha - \varphi)$. В треугольнике OQC $QC = R \sin \frac{\varphi}{2}$; в треугольнике BQC

$QC = D \sin \frac{\alpha}{2}$, отсюда $\sin \frac{\varphi}{2} = \frac{D}{R} \sin \frac{\alpha}{2}$, $\varphi = 2 \arcsin \left(\frac{D}{R} \sin \frac{\alpha}{2} \right)$.

Таким образом, $\angle OPA = \frac{1}{4}(\pi - \alpha - \varphi)$; $|\vec{F}_2| = \frac{1}{2} \sigma L (\pi - \alpha + \varphi)$;

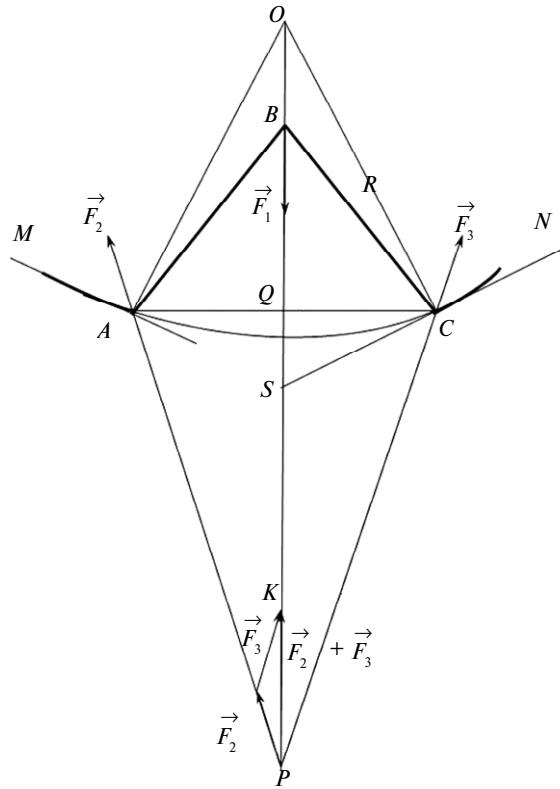


Рис. 3. Геометрические фигуры, образованные векторами $\vec{F}_1, \vec{F}_2, \vec{F}_3$.

$$|\vec{F}_2 + \vec{F}_3| = \sigma L(\pi - \alpha + \varphi) \cos \frac{1}{4}(\pi - \alpha - \varphi).$$

Вектор $\vec{F}_2 + \vec{F}_3$ направлен противоположно вектору \vec{F}_1 , поэтому если направление от центра поры принять за положительное, получим

$$|\vec{F}_\Sigma| = |\vec{F}_1 + \vec{F}_2 + \vec{F}_3| = |\vec{F}_1| - |\vec{F}_2 + \vec{F}_3| = \sigma L(\pi - \alpha) - \sigma L(\pi - \alpha + \varphi) \cos \frac{1}{4}(\pi - \alpha - \varphi).$$

В окончательном виде

$$|\vec{F}_\Sigma| = \sigma L \left[\pi - \alpha - (\pi - \alpha + \varphi) \sin \frac{1}{4}(\pi - \alpha - \varphi) \right], \quad (3)$$

где $\varphi = 2 \arcsin \left(\frac{D}{R} \sin \frac{\alpha}{2} \right)$.

Представим себе цилиндрическую пору радиуса R , высотой L с регулярно расположенными одинаковыми призматическими выступами в количестве n с длиной грани D , углом при вершине α . Фрагмент такой поры представлен на рис. 4. Угол $\theta = \frac{2\pi}{n}$. К рассмотренным выше участкам искривленной поверхности вокруг выступа прилегают два искривленных участка радиусом R с длиной дуги $dl = \frac{(\theta - \varphi)R}{2} = \left(\frac{\pi}{n} - \frac{\varphi}{2} \right) R$. Вследствие действия давления Лап-

ласа на этих участках возникают силы \vec{F}_5 и \vec{F}_6 , направленные внутрь поры к центру, величиной

$$|\vec{F}_5| = |\vec{F}_6| = \sigma L \left(\frac{\pi}{n} - \frac{\Phi}{2} \right). \quad (4)$$

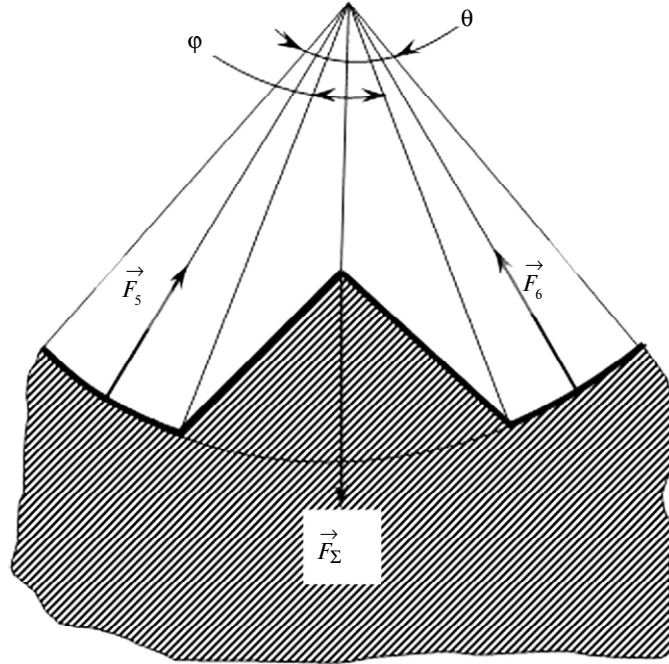


Рис. 4. Поперечное сечение фрагмента цилиндрической поры с призматическим выступом.

Вследствие симметричности векторов \vec{F}_5 и \vec{F}_6 относительно вектора \vec{F}_Σ (см. рис. 4) суммарный вектор $\vec{F} = \vec{F}_\Sigma + \vec{F}_5 + \vec{F}_6$ направлен вдоль вектора \vec{F}_Σ , а его модуль равен

$$|\vec{F}| = |\vec{F}_\Sigma| - 2|\vec{F}_5| \cos\left(\frac{\theta + \Phi}{4}\right). \quad (5)$$

Определим среднее давление, вызванное действием силы \vec{F} , на условно выделенной криволинейной цилиндрической поверхности радиусом R . Площадь участка такой поверхности в рассматриваемом фрагменте составляет $S = \frac{2\pi}{n} RL$. В соответствии с формулой (1)

$$p = \frac{|\vec{F}|}{S} = n \frac{|\vec{F}|}{2\pi RL}.$$

Подставляя в последнюю формулу значение $|\vec{F}|$, которое определяется формулами (5), (4) и (3), в окончательном виде получим

$$p = \frac{\sigma}{R} f\left(\alpha, \frac{D}{R}, n\right), \quad (6)$$

$$\text{где } f\left(\alpha, \frac{D}{R}, n\right) = \frac{n}{2\pi} \left[\pi - \alpha - (\pi - \alpha + \varphi) \sin \frac{1}{4}(\pi - \alpha - \varphi) - 2 \left(\frac{\pi}{n} - \frac{\varphi}{2} \right) \cos \frac{1}{2} \left(\frac{2\pi}{n} + \varphi \right) \right];$$

$$\varphi = 2 \arcsin \left(\frac{D}{R} \sin \frac{\alpha}{2} \right).$$

Таким образом, среднее давление на цилиндрической поверхности радиуса R в поре рассмотренной формы определяется величиной давления Лапласа в цилиндрической поре указанного радиуса и значением функции, зависящей от количества и геометрических характеристик призматических выступов. Положительное значение $f(\alpha, D/R, n)$, в соответствии с принятым выше условием, означает направленность капиллярных сил, вызывающих рассматриваемое давление, от центра поры, т. е. против внешних сил, действующих на систему.

Анализ функции $f(\alpha, D/R, n)$ выполним для значений углов α , которые образуются между плоскостями, наиболее часто встречающимися в частицах алмаза правильной формы (табл. 1). На рис. 5 представлена зависимость указанной функции от соотношения D/R при максимально возможном количестве выступов n , которое определяется значением α и D/R :

$$n = [x],$$

$$\text{где } x = \frac{2\pi}{2 \arcsin \left(\frac{D}{R} \sin \frac{\alpha}{2} \right)}.$$

Таблица 1. Величина углов между плоскостями, наиболее часто наблюдаемыми в кристаллах алмаза

№	Угол	Величина угла	
		в радианах	в градусах
1	между противоположными плоскостями (111)	1,230959	70,5287
2	между смежными плоскостями (100)	$\pi/2$	90,0000
3	между смежными плоскостями (111)	1,91063	109,4710
4	между плоскостью (100) и плоскостью (111)	2,148146	123,0797

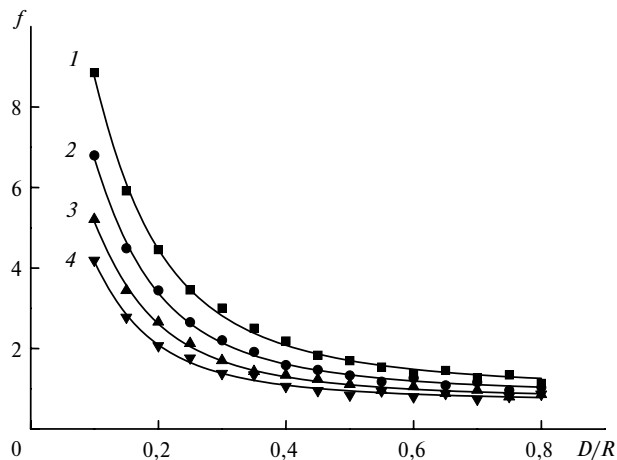


Рис. 5. Зависимость функции $f(\alpha, D/R, n)$ от соотношения D/R при максимальном количестве выступов n и углах α (см. табл. 1): 1—4 — порядковые номера углов α в табл. 1.

Уменьшение угла α наряду с увеличением количества выступов при уменьшении соотношения D/R ведет, как видно из рисунка, к увеличению противодействия капиллярных сил внешнему давлению.

В [4] показано, что основой описания уплотнения алмазного порошка под действием высоких давления и температуры может служить простейшая модель вязкопластичной среды, предложенная еще в [5], если провести более строгое математическое решение задачи о течении вязкопластичного сферического слоя под действием внешнего давления и давления Лапласа. Из полученного в [4] уравнения для кинетики уплотнения алмазного порошка под действием высоких давления и температуры следует уравнение для предельно достижимой пористости θ_l [1], корнем которого она является

$$p_{\text{л}} + \frac{p}{1-\theta} = -\frac{2}{\sqrt{3}}\tau_{\text{т}} \ln \theta, \quad (7)$$

где p — внешнее давление, действующее на систему, $\tau_{\text{т}}$ — предел текучести алмаза на сдвиг.

Нетрудно показать, что для цилиндрической поры связь между текущими радиусом поры R , пористостью θ и начальными радиусом R_0 , пористостью θ_0 задается выражением

$$R = R_0 \left[\frac{(1-\theta_0)\theta}{(1-\theta)\theta_0} \right]^{\frac{1}{2}}. \quad (8)$$

Учитывая вышесказанное, заменим в формуле (7) $p_{\text{л}}$ на $-p$ (см. формулу (6)). С учетом выражения (8) для R получим уравнение

$$\frac{p}{1-\theta} - \frac{\sigma}{R_0} f\left(\alpha, \frac{D}{R}, n\right) \left[\frac{(1-\theta_0)\theta}{(1-\theta)\theta_0} \right]^{\frac{1}{2}} = -\frac{2}{\sqrt{3}}\tau_{\text{т}} \ln \theta, \quad (9)$$

корнем которого является предельно достижимая пористость θ_l . На поверхности поры давление $p_{\text{п}}$ в этом случае имеет значения

$$p_{\text{п}} = \frac{2}{\sqrt{3}}\tau_{\text{т}} + \frac{\sigma}{R} f\left(\alpha, \frac{D}{R}, n\right). \quad (10)$$

Результаты и обсуждение. Расчет проведем для температуры спекания 1550 °С, поскольку в этом случае предсказанное теорией предельное значение пористости близко к наблюдаемому экспериментально ее минимальному значению [6]. В соответствии с этой работой при данной температуре $\tau_{\text{т}} = 1,9$ ГПа, при начальном давлении 8 ГПа в процессе спекания из-за фазовых превращений в материале контейнера и усадки порошка в рабочем объеме аппарата высокого давления (АВД) устанавливается давление $p = 7,1 \pm 0,3$ ГПа. Приведенные в [7] зависимости эффективного диаметра пор d_0 и пористости θ_0 в брикете, полученном при комнатной температуре воздействием давления 8 ГПа на алмазные порошки, от среднего размера частиц исходного порошка d описываются функциями

$$d_0 = A_0 + A_1 e^{-\frac{d}{t_1}} + A_2 e^{-\frac{d}{t_2}} \quad \text{при } d > 0,8 \text{ мкм};$$

$$d_0 = 0,1d \quad \text{при } x \leq 0,8 \text{ мкм};$$

$$\theta_0 = B_0 + B_1 e^{-\frac{d}{\tau_1}} + B_2 e^{-\frac{d}{\tau_2}},$$

где $A_0, A_1, A_2, B_0, B_1, B_2, t_1, t_2, \tau_1, \tau_2$ — константы, значения которых приведены в табл. 2. Учитывая также, что $R_0 = d_0/2$, а наибольшее значение поверхностной энергии алмаза (для грани (100)) равно $9,2 \text{ Дж/м}^2$ [8], получим в итоге все необходимые данные для решения уравнения (9) в зависимости от задаваемого исходного среднего размера частиц алмазного порошка. Для реализации такого решения на языке Turbo Basic была составлена соответствующая программа.

Таблица 2. Константы, входящие в уравнения, описывающие эффективный диаметр пор и пористость в алмазных брикетах, полученных при комнатной температуре и давлении 8 ГПа

Константа	Значение
A_0 , мкм	0,465
A_1 , мкм	-0,389
A_2 , мкм	-0,152
t_1 , мкм	1,563
t_2 , мкм	27,7
B_0 , %	18,8
B_1 , %	10,95
B_2 , %	10,81
τ_1 , мкм	16,68
τ_2 , мкм	2,096

Результаты расчета плотности поликристаллов $\rho = (1 - \theta_l)\rho_m$ на основе значений θ_l , полученных из уравнения (9), представлены на рис. 6. Как видно из рисунка, экспериментальные значения плотности алмазных поликристаллов, спеченных при $1550 \text{ }^\circ\text{C}$ из алмазных порошков различной дисперсности, в пределах погрешности измерений хорошо описываются уравнением (9). Таким образом, при спекании алмазных нанопорошков в АД имеет место противодействие капиллярных сил внешнему давлению.

В этом случае увеличение капиллярного давления с уменьшением зернистости спекаемого алмазного порошка в соответствии с уравнением (10) приводит к увеличению среднего давления на поверхности пор [1]. Для алмазных нанопорошков ($d < 0,1 \text{ мкм}$) давление на свободной поверхности алмазных частиц соответствует термодинамической области стабильности алмаза, что исключает графитизацию за счет прямого фазового превращения алмаза в графит. Следовательно, графитизация алмазных нанопорошков происходит исключительно за счет взаимодействия с кислородом и кислородсодержащими группами на поверхности частиц.

Проведение десорбции газов с поверхности частиц алмазного нанопорошка марки АСМ5 0,1/0 вакуумной обработкой не увеличивает плотность спеченных поликристаллов, но за счет уменьшения графитизации алмазных наночастиц твердость поликристаллов возрастает в 1,5—2 раза [1].

Наряду с дегазацией алмазных нанопорошков для улучшения спекания необходимо найти добавки, образующие химические соединения с углеродом

и таким способом связывающие наночастицы алмаза при спекании. Для этого были апробированы карбиды переходных металлов [9].

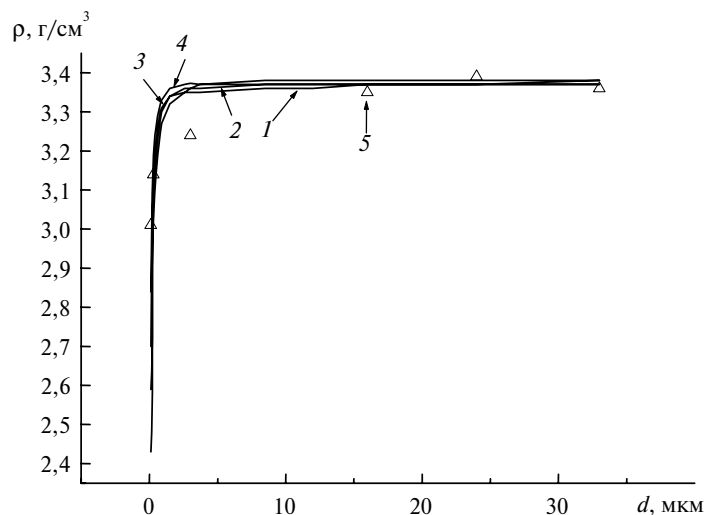


Рис. 6. Зависимость предельной плотности поликристаллов, спеченных при начальном давлении 8 ГПа и температуре 1550 °С, от среднего размера частиц исходного алмазного порошка, полученная в соответствии с уравнением (9) (1—4 — номера углов α в табл. 1, $D/R = 0,5$) и экспериментально (5).

Введение карбида вольфрама в композит способствует спеканию алмазного нанопорошка при температурах выше 1600 °С, тогда как при спекании ультрадисперсных алмазов без добавок и без дегазации интенсивная графитизация начинается при $T > 1200$ °С за счет взаимодействия алмаза с кислородсодержащими соединениями. Вакуумная дегазация дает возможность повысить температуру спекания до 1600 °С, однако дальнейшее повышение температуры вызывает графитизацию [9].

Поиск добавок, взаимодействие алмаза с которыми приводило бы с ростом температуры спекания к увеличению плотности в высокотемпературной области, остается актуальной задачей.

Выводы

Предложена модель противодействия капиллярных сил спеканию алмазных частиц за счет внешнего воздействия. Получено уравнение для среднего давления на условно выделенной цилиндрической поверхности в зависимости от геометрических характеристик поры и предложено уравнение уплотнения порошка для этого случая, хорошо описывающее полученные экспериментальные данные.

Наряду с дегазацией алмазных нанопорошков для улучшения их спекания в исходный порошок необходимо вводить добавки, образующие химические соединения с углеродом и таким способом связывающие наночастицы алмаза при спекании.

1. Bochechka A. A., Romanko L. A., Gavrilova V. S. et al. Special features of sintering diamond powders of various dispersions at high pressures // *J. Superhard Materials*. — 2007. — N 1. — P. 24—31.
2. Гегузин Я. Е. Физика спекания. — М.: Наука, 1984. — 312 с.
3. Адамсон А. Физическая химия поверхностей. — М.: Мир, 1979. — 566 с.

4. Головчан В. Т. Анализ применимости простейшей модели вязкопластической среды для исследования кинетики уплотнения при спекании алмазных поликристаллов // Сверхтв. материалы. — 2000. — № 2. — С. 8—18.
5. Mackenzie J. K., Shuttleworth R. A phenomenological theory of sintering // Proc. Phys. Soc. B. — 1949. — 62, N 12. — P. 833—852.
6. Бочечка А. А., Луценко А. Н. Кинетика уплотнения алмазного порошка при различных температурах под действием высокого давления // Сверхтв. материалы. — 2002. — № 1. — С. 67—81.
7. Бочечка А. А. Изучение факторов, определяющих кинетику миграции жидкой фазы при спекании алмазных порошков методом пропитки // Поликристаллические материалы на основе синтетического алмаза и кубического нитрида бора. — Киев: ИСМ АН УССР, 1990. — С. 15—24.
8. Федосеев Д. В., Новиков Н. В., Вишневецкий А. С., Теремецкая И. Г. Алмаз: Справ. — Киев: Наук. думка, 1981. — 78 с.
9. Бочечка А. А., Романко Л. А., Шаповалов Д. Ю., Назарчук С. Н. Влияние карбидов переходных металлов на получение композитов на основе алмазного нанопорошка детонационного синтеза // Породоразрушающий и металлообрабатывающий инструмент — техника и технология его изготовления и применения: Сб. науч. тр. — Киев: ИСМ им. В. Н. Бакуля НАН Украины, 2006. — Вып. 9. — С. 190—196.

Ин-т сверхтвердых материалов
им. В. Н. Бакуля НАН Украины

Поступила 17.07.09